

بررسی خواص مکانیکی کامپوزیت کربن - کربن دو جهته بر پایه الیاف چوب درختان

محمد اسماعیلی^{*} ، علیرضا میرحبیبی

دانشکده مهندسی مواد، دانشگاه علم و صنعت ایران

(دریافت مقاله: ۱۳۹۰/۱۱/۲۳ - دریافت نسخه نهایی: ۱۳۹۲/۰۷/۰۳)

-چکیده-

: واژگان کلیدی

Evaluating Mechanical Properties of Two Directional Carbon-Carbon Composites Based on Texture of Wood

M. Esmaeeli^{*} and A.Mirhabibi

Iran University of Science and Technology, Department of Materials Engineering

Abstract: An important parameter in composite materials is mechanical behavior and matrix-reinforcement interface interaction under applied stresses. In this investigation, bending strength of carbon-carbon composites synthesized from wood was analyzed as a measure of the composite mechanical properties. Also, densification efficiency of the products was determined by measuring the bulk density and open porosity percentage. Using scanning electron microscopy, optical microscopy, X-Ray diffraction, and Raman spectroscopy, the final product was examined to evaluate and interpret the morphology and internal texture and results of mechanical test. The results showed that we are able to use an ordinary material such as wood for production of a unique product with great properties called two-dimensional carbon-carbon composites.

Keywords: Carbon-Carbon Composite, Wood, Density, Bending strength, Mechanical properties

*: مسئول مکاتبات، پست الکترونیکی: mohammad.esmaeely.msc@gmail.com

۱- مقدمه

کردن چندین مرحله تکرار می‌شوند تا چگالی نمونه به یک مقدار ثابت برسد. تعداد این مراحل وابسته به دمای عملیات حرارتی و فشار اعمالی است، به طوری که هرچه دما و فشار بالاتر باشد در مدت زمان کمتری می‌توان به چگالی بیشینه دست پیدا کرده، تعداد سیکل‌های کاری کاهش چشم گیری پیدا می‌کنند (از ۲۰ الی ۳۰ سیکل به کمتر از ۱۰ سیکل برای اجسام نسبتاً متراکم می‌رسند [۷ و ۸].

در پژوهش حاضر از ابتکاری نوین برای تهیه‌ی پیش‌ماده استفاده شده، از ماده‌ای نام آشنا به نام چوب، که ماهیت‌اً دارای بافت الیافی است به عنوان پیش‌ماده‌ی کامپوزیت استفاده می‌شود و این کار باعث خواهد شد که اولین فاز تهیه کامپوزیت‌های کربن-کربن، یعنی تهیه‌ی پیش‌ماده، از مسیر تولید حذف شود و لذا گام بزرگی در سهولت تهیه این محصول و کاهش هزینه‌های تولید آن صورت گیرد. این پیش‌ماده پس از کربونیزه کردن اولیه طی سیکل‌های اشباع سازی-کربونیزه کردن تحت شرایط خاص، به چگالی بیشینه خود می‌رسد.

۲- مواد و روش تحقیق

ابتدا هشت نمونه نمونه چوبی از درخت گردو، گیلاس، صنوبر، توت، زردالو، چنار، بید و کبود تهیه شد. علت انتخاب این نمونه‌ها، پرکاربرد بودن آنها در صنایع مرتبط با چوب بود. در این صورت ضایعات این نوع چوب‌ها در صنایع مرتبط، مواد اولیه چوبی برای تهیه محصول مورد نظر تلقی خواهد شد. این نمونه‌ها منطبق با روش استاندارد ASTM D 3174، برای تعیین میزان خاکستر باقی‌مانده^۱ آماده سازی شده، مورد بررسی قرار گرفتند. نتایج آزمون درصد خاکستر نمونه‌ها که در جدول (۱) ارائه شده است، نشان می‌داد که نمونه‌ی صنوبر کمترین درصد خاکستر باقی‌مانده را دارا بوده، به همین خاطر بیشترین درصد خاکستر باقی‌مانده را دارا بوده، به همین خاطر این دو نوع چسب جهت به عنوان مواد اولیه این پژوهش انتخاب شدند.

زمینه‌ی کربنی تقویت شده با الیاف کربن، که کامپوزیت کربن-کربن نیز خوانده می‌شود امروزه بسیار پرکاربرد گشته است. علت توسعه‌ی این نوع کامپوزیت‌ها مشخصات منحصر به فرد این محصولات است، نمونه‌ای از این مشخصات استحکام دمای بالا (قابل مقایسه با سوپر آلیاژها)، دانسیته پایین (کمتر از 2gr/cm^3)، استحکام ویژه بالا، انبساط حرارتی کم، مقاومت به سایش خوب و قابلیت زیست سازگاری بالا (به ویژه در محیط‌های خشی و خلا) است. به استناد همین خواص منحصر به فرد، کامپوزیت‌های کربن-کربن کاربرد فراوانی در تهیه مواد دیرگذار، ساخت لنت ترمزا (هوایپیماها و اتومبیل‌های سریع و سنگین)، صنایع هوا و فضا، صنایع نظامی و پزشکی پیدا کرده‌اند [۶-۱].

اولین قدم در تولید کامپوزیت‌های کربن-کربن تهیه پیش‌ماده^۲ است. پیش‌ماده در واقع قطعه‌ی خامی است که از رزین نگهدارنده و الیاف بافته شده (از تک جهته تا n جهته) تشکیل شده است، و صرفاً تحت فشار مکانیکی قالب‌گیری شده، هیچ سیکل عملیات حرارتی را طی نکرده است. پس از اینکه پیش‌ماده تهیه شد، برای اولین بار کربونیزه می‌شود. با اتمام این مرحله به دلیل خروج مواد فرار رزین یا ضریب انبساط متفاوت الیاف و زمینه، خلل و فرج‌های زیادی در نمونه ایجاد می‌شود. برای پرکردن این فضاهای و به تبع آن افزایش چگالی و بهبود خواص مکانیکی، نمونه‌ها با یکی از دو روش زیر متراکم می‌شوند:

(الف) روش اول در فاز گازی صورت می‌پذیرد که عامل پرکننده‌ی پیش‌ماده‌ی متخلخل، تهشیش سازی بخارات شیمیایی^۳ است.

(ب) در روش دوم که در فاز مایع صورت می‌پذیرد، پیش‌ماده‌ی تهیه شده در بستره از رزین که اغلب قیر است، اشباع می‌شود.

لازم به ذکر است که سیکل‌های اشباع سازی^۴-کربونیزه

جدول ۱- درصد خاکستر باقیمانده نمونه های چوبی

نوع چوب	گردو	توت	چنار	کبود	گیلاس	بید	زردآلو	صنوبر
درصد خاکستر	۱/۹۹۴	۱/۸۱۱	۱/۱۵۴	۱/۱۰۹	۰/۷۰۲	۰/۶۱۲	۰/۵۵۸	۰/۳۵۰

۴- برای بررسی مشخصات ریز ساختاری نمونه نیز از میکروسکوپ نوری و میکروسکوپ الکترونی روبشی^۷ استفاده شد.

۳- نتایج و بحث

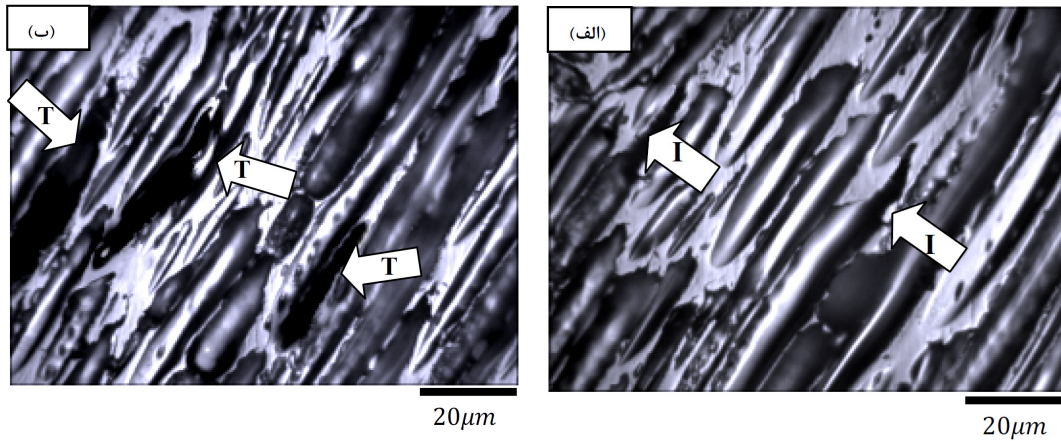
۳- گستینگی ها و تخلخل ها

حضور ترک ها و تخلخل ها به دلیل بافت چوب و انقباض زمینه و همچنین تجزیه گاز های فرار موجود در زمینه امری اجتناب ناپذیر است. تحلیل مقاطع مختلف مربوط به دو گروه کامپوزیت که از دو منع یعنی چوب صنوبر و گردو تهیه شده بودند، با میکروسکوپ نوری و میکروسکوپ الکترونی روبشی (SEM) بررسی شدند.

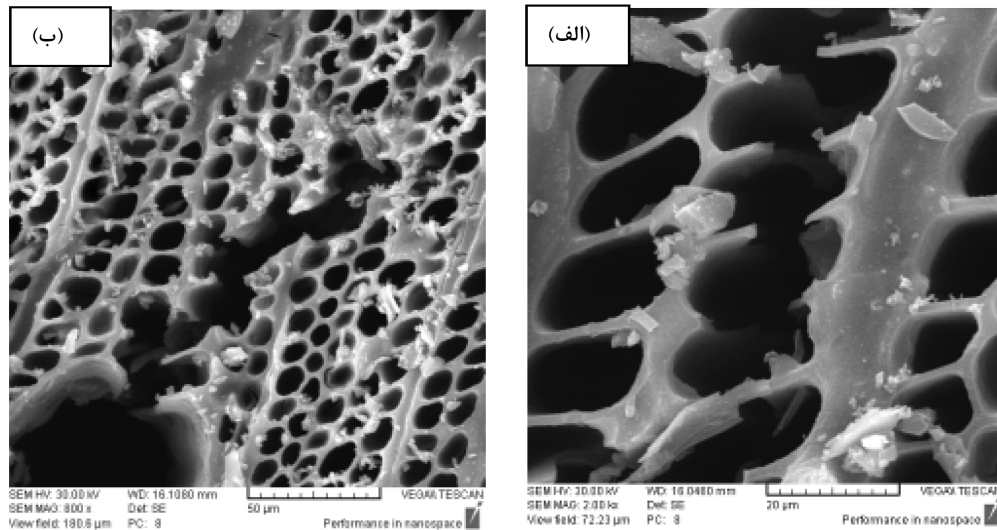
شکل (۱)، تصاویر میکروسکوپ نوری را نشان می دهد. تصویر (الف) مربوط به کامپوزیت تشکیل شده از چوب گردو و تصویر (ب) مربوط به کامپوزیت کربن- کربن تشکیل شده از چوب صنوبر است که هر کدام پس از فراوری با قیر قطران، تحت عملیات حرارتی کربونیزه کردن قرار گرفته است. در شکل (۱-الف)، گستینگی میان الیاف توخالی سلولزی با حرف I، نشان داده شده است که می توان آن را در شکل (۱-ب)، برای کامپوزیت کربن- کربن حاصل از صنوبر، با حرف T مشاهده نمود. ترک های I و T در حین فرایند ساخت ماده پیش ساخته ایجاد می شوند و ناشی از ماهیت چوب و تنفس های کشنشی اند که در حین کربونیزه کردن و به دلیل انقباض چوب حاصل می شوند. در شکل (۲) تصاویر مربوط به میکروسکوپ SEM نشان داده شده است. در اینجا به دلیل شباهت نوع ترک ها، تصاویر مربوط به نمونه چوب گردو مد نظر قرار گرفته است، از طرفی همان طور که در بخش های بعد نیز ذکر خواهد شد، چوب درخت

این دو نوع چوب در ابعاد $10 \times 3 \times 3$ سانتی متر آماده، در یک قالب فلزی با ابعاد $20 \times 10 \times 10$ سانتی متر قرار داده شده، با استفاده از پودر ذغال (Mesh No.30) کاملاً دفن شدند. سپس درب قالب بسته شد تا جریان هوا به سطح پودر ذغال به حداقل برسد. با استفاده از یک کورهی المتی نمونه ها با شرایط زیر برای اولین بار کربونیزه شدند: (۱) نرخ گرمایش ۱ درجه بر دقیقه، (۲) دمای نهایی ۴۵۰ درجه سانتی گراد، (۳) تداوم گرمادهی به مدت ۲ ساعت در دمای ۴۵۰ درجه سانتی گراد و (۴) سرد شدن نمونه در کوره. نمونه های کربونیزه شده به مرحله اشباع سازی- کربونیزه کردن ارجاع داده شدند. برای اشباع سازی، نمونه ها از قیر قطران PA63X استفاده شد. برای این منظور نمونه ها با استفاده از اتوکلاو صنعتی در بسترهای از قیر، تحت فشار ۲ مگاپاسکال (۲۰ بار)، دمای ۲۵۰ درجه سانتی گراد و مدت زمان ۴ ساعت توسط بخارهای ناشی از قیر و نفوذ به داخل جسم متخلخل نمونه ها، اشباع شدند. پس از هر بار اشباع سازی، نمونه ها دوباره کربونیزه می شدند، اما این بار برای جلوگیری از خروج قیر نفوذ کرده در نمونه، از نرخ گرمایش ۰/۵ درجه بر دقیقه و دمای نهایی ۷۰۰ درجه سانتی گراد استفاده می شد. در این پژوهش پنج سیکل اشباع سازی- کربونیزه کردن انجام شد. پس از هر مرحله کربونیزه کردن برای تعیین مشخصات نمونه آزمون های زیر صورت پذیرفتند:

- با استفاده از روش استاندارد EN 993-1 چگالی حجمی نمونه و تخلخل های باز نمونه محاسبه شدند.
- پودرهای تهیه شده از نمونه برای آزمون های پراش اشعه ایکس (XRD)^۵ و رaman اسپکتروسکوپی^۶ استفاده شدند.
- برای بررسی خواص مکانیکی نمونه از آزمون خم ش سه نقطه ای منطبق با روش استاندارد (ASTM D790) استفاده شد.



شکل ۱- (الف) تصویر ریزساختار کامپوزیت تهیه شده از چوب گردو (ب) تصویر ریزساختار کامپوزیت تهیه شده از چوب صنوبر

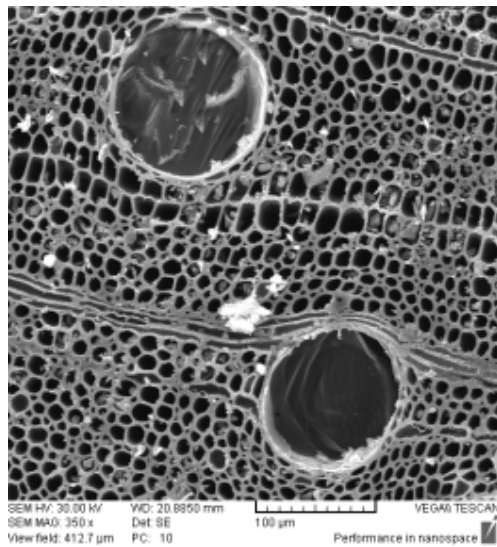


شکل ۲- تصاویر SEM تهیه شده از گسیختگی الایاف سلولزی نمونه چوب گردو

می‌کند که این گسیختگی‌ها ناشی از کششی‌اند که ممکن است به دلیل نفوذ قیر به درون آوندهای چوبی باشد. در شکل (۲- ب) کامپوزیت مربوطه پس از کربونیزه کردن در دمای ۴۵۰ درجه سانتی‌گراد برای مدت زمان ۳۰ دقیقه تا دمای ۷۰۰ درجه سانتی‌گراد گرمای داده شده است. همان‌طور که در تصاویر نیز کاملاً مشهود است با افزایش دمای عملیات حرارتی عرض ابعاد گسیختگی‌ها بیشتر می‌شود.

صنوبر فاقد کیفیت مطلوب برای دست‌یابی به کامپوزیتی با خواص مناسب است، لذا غالب تصاویر و محاسبات مربوط به چوب درخت گردوست.

همان‌طور که در شکل دیده می‌شود، گسیختگی‌هایی که در مقطع طولی با میکروسکوپ نوری نشان داده شده بود، در این‌جا در مقطع عرضی قابل مشاهده هستند. در شکل (۲- الف) این گسیختگی در بزرگنمایی بالا نشان داده شده است. شکل اتصال این نوع ترک‌ها این ذهنیت را تداعی



شکل ۳- تصاویر SEM تهیه شده از تخلخل های اشباع شده

$$y_v = (y_w \cdot y_\lambda \cdot p_p) / \rho_c \quad (2)$$

که y_w نقطه تسليم قیر اشباع کننده بعد از کربونيزه کردن، y_λ بازده اشباع سازی قیر، p_p دانسیته قیر اشباع کننده و ρ_c دانسیته قیر کربونيزه شده است. مطابق با معادله (۲)، در این پژوهش خاص که برای چوب گردو انجام شده است، بیشینه بازده متراکم سازی زمانی به دست می آید که $y_\lambda = 1$ (بازده اشباع سازی ۱۰۰ درصد)، p_p برابر با $\frac{gr}{cm^3}$ ، ρ_c برابر با $\frac{gr}{cm^3}$ و $y_w = 0.6$ باشد که در این صورت بیشینه بازده متراکم سازی $100/388 = 0.26$ خواهد شد.

در پژوهش حاضر، درصد تخلخل های باز، چگالی ظاهری و چگالی حجمی نمونه گردو قبل و بعد از هر سیکل متراکم سازی با استفاده از روش استاندارد EN 993-1 محاسبه شدند. نمونه صنایع با همین روش مورد بررسی قرار گرفت، ولی به دلیل درصد بالای تخلخل های باز (۶۰ درصد)، چگالی حجمی کم (۹۷ درصد)، استحکام خمی پایین، از جریان تست های مکانیکی و بررسی بازده متراکم سازی کنار گذاشته شد. نتایج اندازه گیری مرسوط به نمونه

چوب گردو

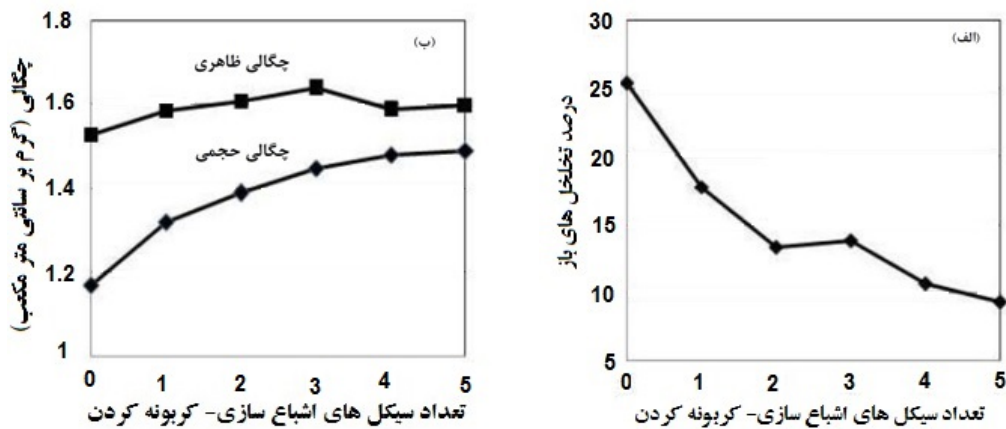
علاوه بر ترک، حضور تخلخل نیز در کامپوزیت کربن-کربن امری بدیهی و اجتناب ناپذیر است. این تخلخل ها، در واقع آوندهای انتقال دهنده مواد مغذی به اجزای مختلف درختان محسوب می شوند که در شکل (۳) با قیر اشباع شده، منجر به افزایش چگالی محصول گشته اند. [۹ و ۱۰].

۲-۳- بازده متراکم سازی

تاکنون معادلات زیادی در ارتباط با محاسبه بازده متراکم سازی مطرح شده است. یکی از این معادلات که مبنی بر حجم سنجی و منتبه به رلیک می باشد در زیر نشان داده شده است:

$$y_v = \Delta V / \theta_0 \quad (1)$$

بازده متراکم سازی حجمی و عبارت از نسبت حجم کربن تولید شده (ΔV) در زمینه در حین سیکل های متراکم سازی به حجم تخلخل های موجود در ساختار متراکم شده (θ_0) است. معادله (۱) را می توان به صورت زیر نشان داد:



شکل ۴- (الف) تغییر درصد تخلخل های باز با افزایش سیکل های اشباع سازی و (ب) تغییر چگالی ظاهری و حجمی با افزایش تعداد سیکل های اشباع سازی

متراکم سازی و ρ_b چگالی قیر کربونیزه شده است. بررسی بازده محاسبه شده بر حسب تعداد سیکل های متراکم سازی در شکل (۵) نشان داده شده است. همان طور که مشاهده می شود با افزایش سیکل های متراکم سازی، بازده کاهش پیدا می کند [۱۲، ۱۱].

۳-۳- تاثیر فرایند متراکم سازی روی خواص مکانیکی

شکل (۶)، تاثیر فرایند متراکم سازی روی استحکام خمشی کامپوزیت کربن - کربن را نشان می دهد. به طور کلی با افزایش تعداد سیکل های متراکم سازی، استحکام خمشی افزایش می یابد. با توجه به اینکه چوب صنوبر، همان طور که در بالا اشاره شد، دارای درصد تخلخل بالایی است، (به طور تقریبی ۶۰٪)، لذا در مرحله‌ی بررسی تخلخل، چگالی این چوب پس از مرحله اشباع سازی همزمان با چوب گردو به مقدار بالاتر از ۹۷٪ نرسید، لذا چوب گردو برای دست یابی به کامپوزیتی با چگالی بالا و خواص مکانیکی مناسب انتخاب شده، در این پژوهش خواص مکانیکی کامپوزیت حاصل از

گردو، در شکل (۶) نشان داده شده‌اند. همان‌طور که مشاهده می شود با افزایش تعداد سیکل های متراکم سازی، درصد تخلخل های باز کاهش یافته (شکل (۴-الف)) و چگالی حجمی افزایش می یابد (شکل (۴- ب)). مشاهده می شود که پس از عبور از مرحله‌ی سوم متراکم سازی، چگالی ظاهری کاهش قابل توجهی پیدا کرده، روند نزولی می یابد. گراندا و همکارانش [۱۱] این موضوع را این گونه توجیه کردند که با کاهش تخلخل های باز در آخرین مراحل متراکم سازی، کربن باقی مانده بیشتر نمی شود، اما بسیاری از تخلخل های باز، بسته می شوند و همین امر دلیلی بر کاهش چگالی ظاهری در آخرین مراحل متراکم سازی به حساب می آید.

در پژوهش حاضر، بازده متراکم سازی که با y_v مشخص شده طبق معادله‌ی (۳)، بر حسب مقدار چگالی حجمی و تخلخل های باز محاسبه شده است.

$$y_v(n) = (\rho_b(n) - \rho_b(n-1)) / (\theta(n-1) \cdot \rho_b) \quad (3)$$

که y_v چگالی متراکم سازی، n تعداد سیکل های فرایند متراکم سازی (سیکل n ام فرایند)، $(\rho_b(n) - \rho_b(n-1))$ چگالی حجمی بعد از سیکل n ام متراکم سازی، $\theta(n)$ مقدار تخلخل های باز بعد از سیکل n ام

۴-۳- رامان اسپکتروسکوپی

در این قسمت چوب‌ها برای تعیین میزان درصد گرافیت‌زائی و کربن آمورف، مورد بررسی قرار گرفتند. زمانی که سطح ساییده می‌شود پدیده‌ی جالبی رخ داده که آن تغییر فرم کریستال‌والگرافی ذرات ساییده شده موجود در سطح است. از نسبت شدت پیک‌های G:D برای تعیین تغییرات موجود در کیفیت نمونه استفاده شد، زیرا این روش به نسبت جواب‌گوی شناسایی کربن گرافیتی از کربن معیوب و بی‌شکل بود. در نتایج به دست آمده از آزمون رامان اسپکتروسکوپی، پیکی که در نسبت G:D ۱/۵۸ قرار دارد پیک مربوط به ساختار کریستالی منظم (گرافیت) بوده که ناشی از فعال شدن مواد کربنی در سطح و پیکی که در نسبت G:D ۱/۲۱ مشاهده می‌شود پیک مربوط به ساختار بی‌نظم (کربن آمورف)^۸ است.

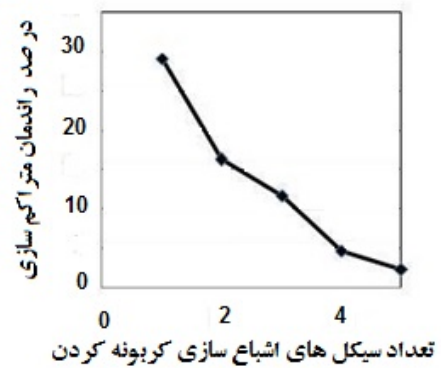
تحلیل ذرات کربنی باقی‌مانده از ساییش بر روی سطح نمونه‌های چوبی با استفاده از روش رامان اسپکتروسکوپی نشان می‌دهد که هر دو نمونه در انرژی‌های پایین و بالا تمایل مشابهی برای جذب انرژی دارند. ابعاد گرافیت کریستالی از روی نسبت پیک‌های G:D همان‌طور که در مقاله‌ها و نوشه‌ها مطرح شده، محاسبه می‌شود (شکل ۷).

به طور کلی مشاهده می‌شود که درصد گرافیت‌زائی مربوط به چوب گردو بسیار بالاتر است. از طرفی برای تایید نتایج حاصل از رامان، شکل (۸) نتایج مربوط به پراش اشعه‌ی ایکس را نشان می‌دهد.

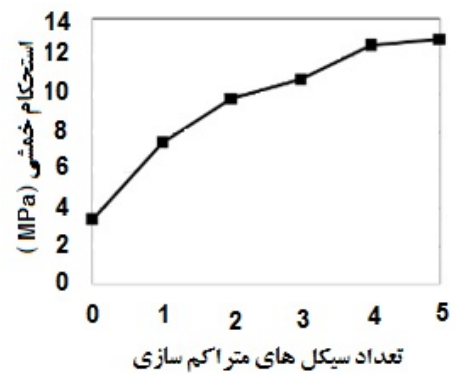
همان‌طور که در شکل نیز مشخص است، پیک مربوط به گردو کاملاً تیز (شارپ) بوده، نشان دهنده وجود تبلور در این کامپوزیت است، در حالی که پیک مربوط به صنوبر به صورت گنبدی شکل بوده، بیان‌گر آمورف بودن کربن موجود است [۱۴].

۴- نتیجه‌گیری

- استفاده از چوب در تهیه کامپوزیت کربن-کربن فرایند تولید را ساده نموده است، بهویژه آن که نیازی به تهیه

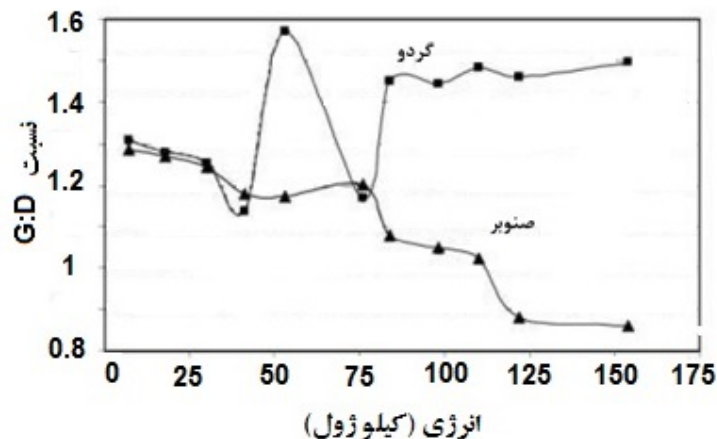


شکل ۵- تغییر بازده متراکم سازی با افزایش تعداد سیکل‌های اشباع سازی- کربونیزه کردن

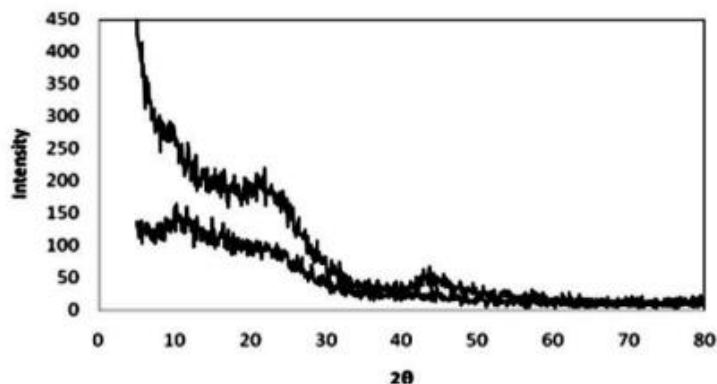


شکل ۶- تغییرات استحکام خمی با افزایش تعداد سیکل‌های متراکم سازی کامپوزیت بر پایه چوب گردو

چوب گردو بررسی گردید. همان‌طور که مشاهده می‌شود، بعد از سیکل اول، استحکام خمی بهبود پیدا نکرده است، زیرا امکان دارد که کاهش تخلخل‌ها پس از اولین سیکل متراکم‌سازی به قدری نبوده که بتواند منجر به بهبود استحکام خمی نمونه شود. هم‌چنین مشاهده می‌شود که افزایش استحکام خمی از سیکل ۲ تا ۳، روند کندتری پیدا کرده است. این پدیده می‌تواند مربوط به پیدایش همان تخلخل‌های بسته‌ای باشد که قبلًا بحث شد، زیرا این تخلخل‌ها منجر به کاهش چگالی ظاهری می‌شوند [۱۱ و ۱۲].



شکل ۷- نتایج آزمون رامان اسپکتروسکوپی



شکل ۸- نتایج آزمون پراش اشعه ایکس

۴. نمونه های متخلخل که در فشار نسبتاً بالا اشباع می شوند بعد از طی چند سیکل به سبب بسته شدن تخلخل های باز، قابلیت متراکم شدن خود را از دست می دهد.
۵. کامپوزیت تهیه شده از چوب گردو نسبت به کامپوزیت تهیه شده از چوب صنوبر خواص مکانیکی بهتری از خود نشان داده، بهویژه آنکه می تواند در دامنه ای به نسبت متوسط، مشخصات کریستاله (گرافیته) شدن را از خود بروز دهد.

پیش ماده نخواهد بود، لذا صرفه‌ی اقتصادی زیادی به همراه خواهد داشت.

۲. هرچه درصد خاکستر باقیمانده نمونه های چوبی کمتر باشد، مواد فرار بیشتری در نمونه حضور داشته، که به تبع آن تخلخل های بیشتری در حین متراکم سازی در نمونه ایجاد می شود.

۳. تخلخل بیش از حد چوب درختان (مثلاً صنوبر) مانع از آن خواهد شد که در سیکل های اشباع سازی - کربونیزه کردن بتوان چگالی مطلوب را ایجاد نمود.

واژه‌نامه

- | | | |
|--------------------------------------|-----------------------|--------------------------------|
| 1. precursor | 4. ash content | 7. scaning electron microscopy |
| 2. CVD or Chemical Vapour Deposition | 5. X Ray diffraction | 8. disorder-induced |
| 3. impregnation | 6. Raman spectroscopy | |

مراجع

1. Morgan, P., Carbon Fibers and Their Composites, pp. 1-29, CRC Press LLC, 2005.
2. Savage, G., Carbon-Carbon Composites, pp. 1-16 Chapman and Hall, 1993.
3. Pierson, H., O. .Handbook of Carbon, Graphite, Diamond and Fullerenes (Properties, Processing and Application), pp. 44-45, pp. 272 -361 Noyes, 1993
۴. مجله کامپوزیت، شماره سی و سوم، بهار (۱۳۸۸)
5. Buckley, J. D., Dan, D.E., Carbon-Carbon Materials and Composites, pp. 5-12, pp. 268-275 Noyes, 1993
6. Thomas, J. D., Essentials of Carbon-Carbon Composites, P30, Royal Society of Chemistry, 1993.
7. Mancocha, J. D., "High Performance Carbon-Carbon Composites", *Sadhana*, Vol. 28, Parts 1 & 2, pp. 349-358, 2003.
8. Devi, G. R., Rao, K. R., "Carbon-Carbon Composites -An Overview", *Defense Science Journal*, Vol. 43, No. 4, pp. 369-383, 1993.
9. Gao, F., Patrick , J. W., Wlker, A., "The Characterization of Cracks and Voids in Two-Dimensional Carbon-Carbon Composite", *Carbon*, Vol. 31, pp. 103-108, 1993.
10. Purslow, D., "An Optical Assessment of the Void Content in Composite Materials ", *Composites*, Vol. 5, No.3, 1984.
11. Granda, M., Patrick, J. W., Walker, A., Casal, E., Bermijo J., and Menbndez, R., "Densification of Undirectional C/C Composites by Melted Pitch Impregnation", *Carbon*, Vol. 36, No. 7-8, pp. 943-952, 1998.
12. M. Kluakova, " Efficiency of Densification Process in Preparation of Carbon-Carbon Composites" *International Journal of Physical Sciences*, Vol. 1 (3) pp. 121-125, 2006.
13. Davies, I. J., Rawlings, R. D., "Mechanical Properties in Compression of CVI-Densified Porous Carbon/Carbon Composite", *Composites Science and Technology*, Vol. 59, pp. 97-104, 1999.
14. Abdo, J., Shamseldin, E.A., " Comparative Study of Friction and Wear of Two Generation of CVI C-C Composites", *Emirates Journal for Engineering Research*, Vol. 12 (3), pp. 57-67, 2007.